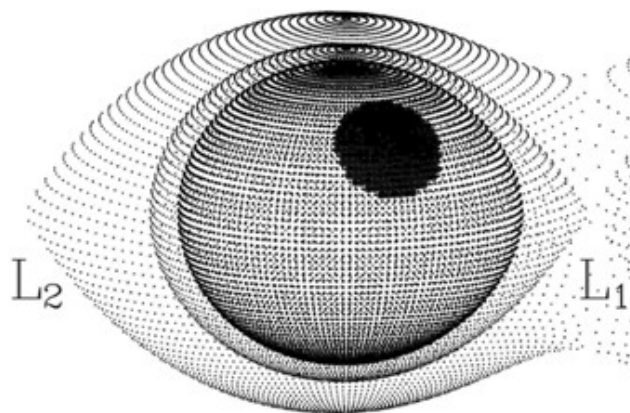


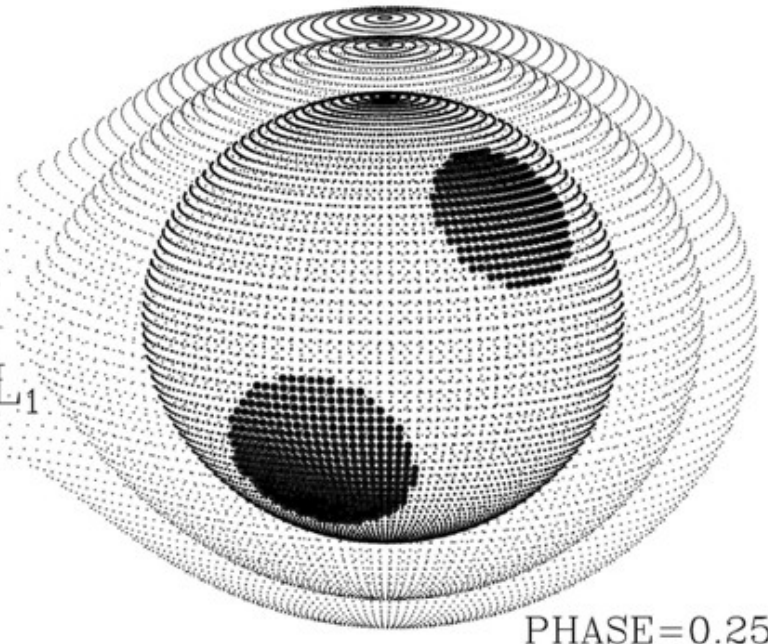
# **Modeliranje i rešavanje inverznog problema spektrofotometrijskih posmatranja - ključ ka razumevanju prirode aktivnih tesnih dvojnih sistema**

**Đurašević Gojko**

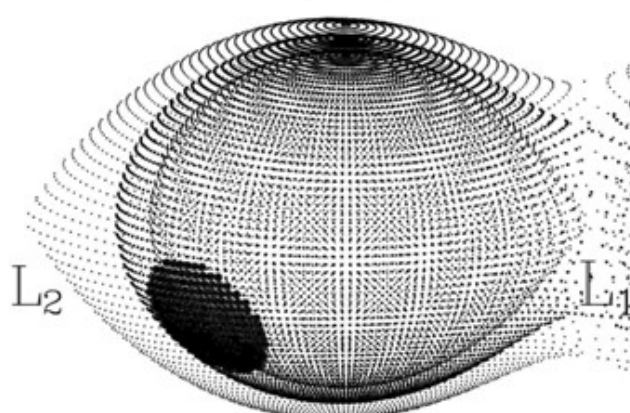
Roche model TDS  
 $q=m_2/m_1=3.019$



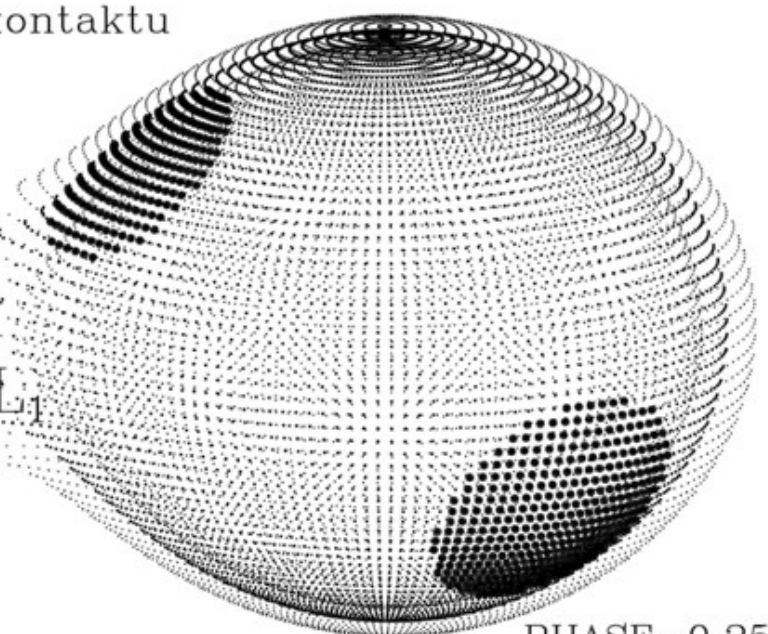
$F_1=0.90$   
 $F_2=0.80$

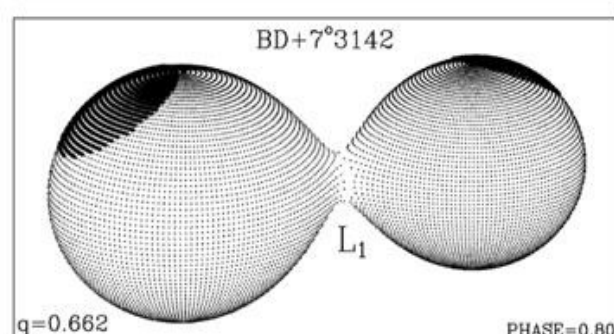
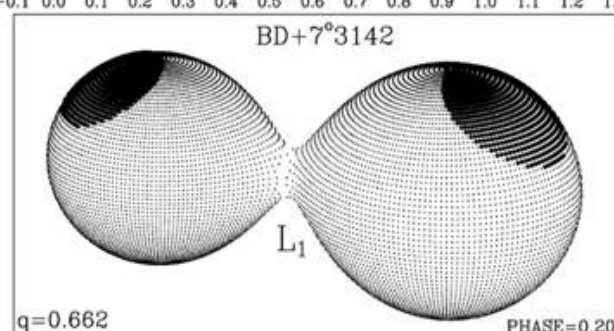
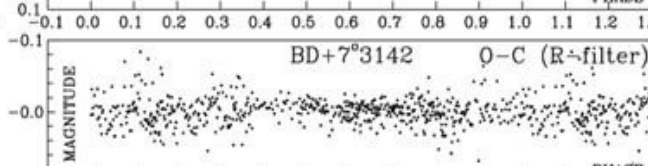
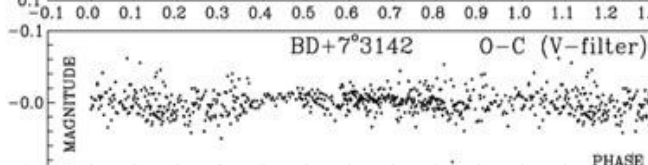
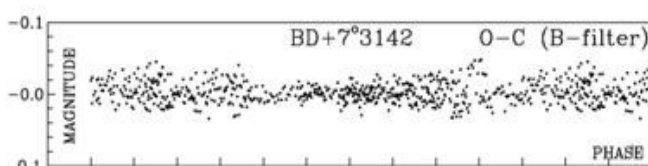
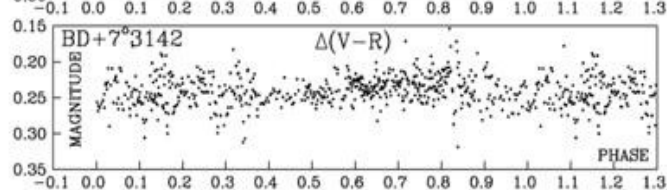
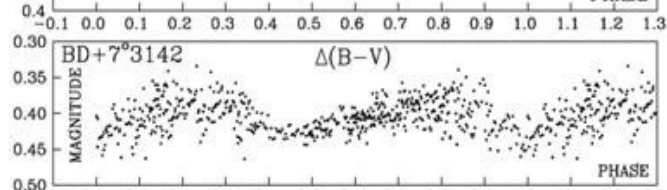
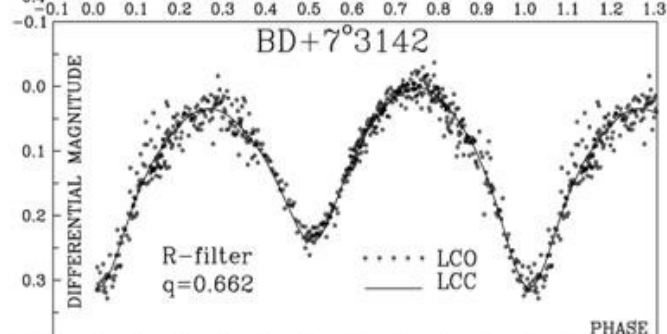
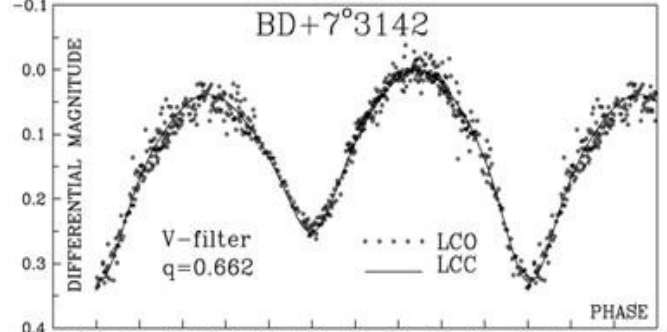
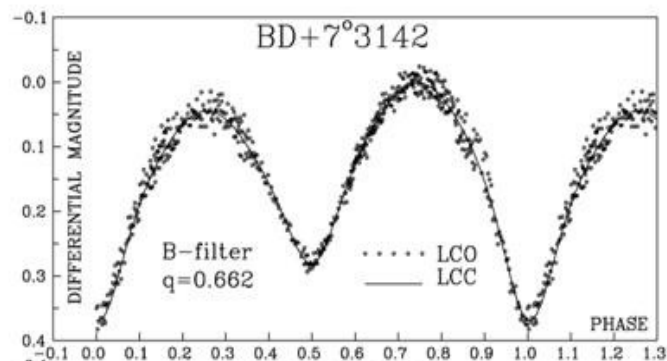


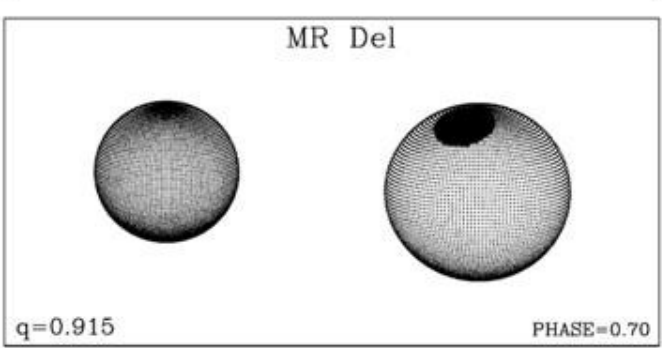
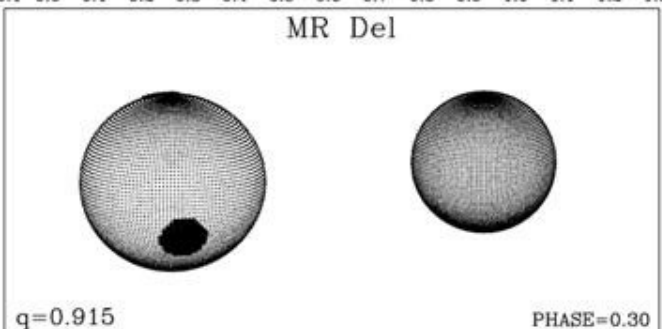
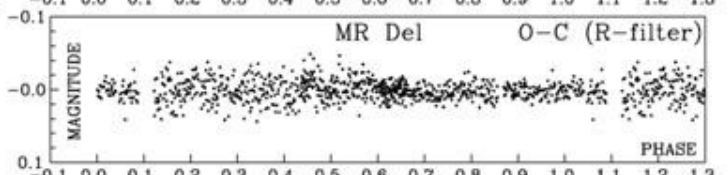
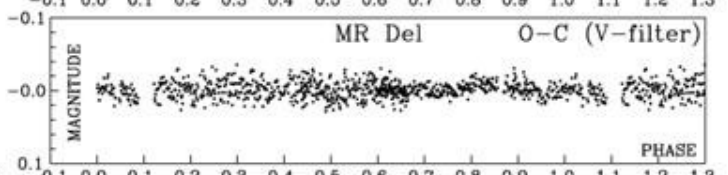
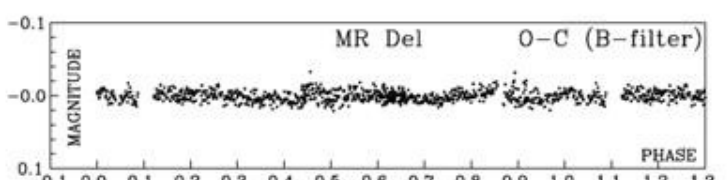
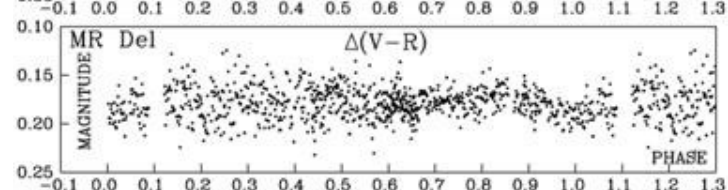
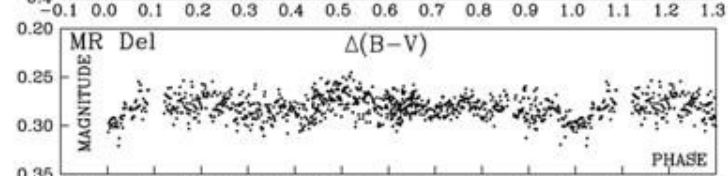
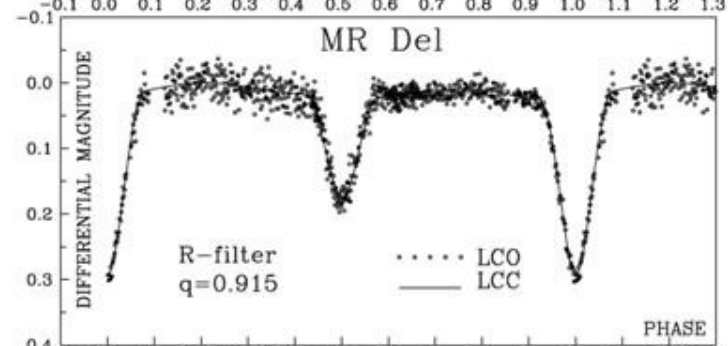
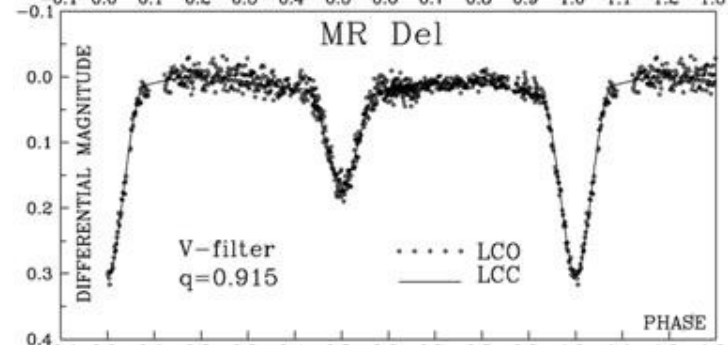
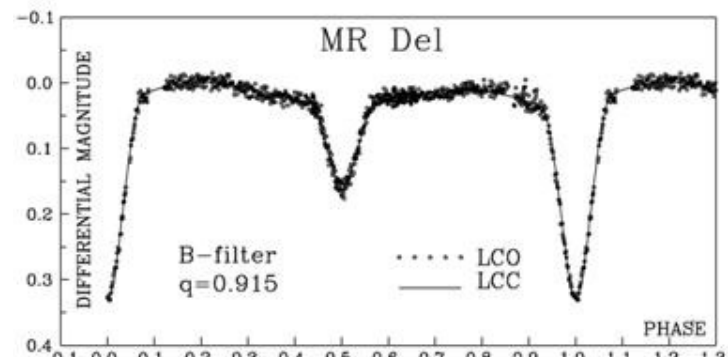
Roche model TDS u overkontaktu  
 $q=m_2/m_1=3.019$

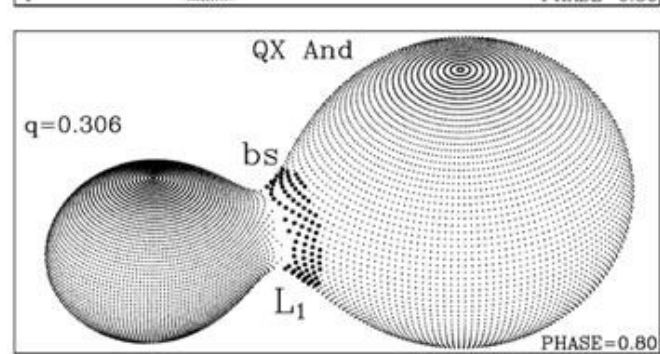
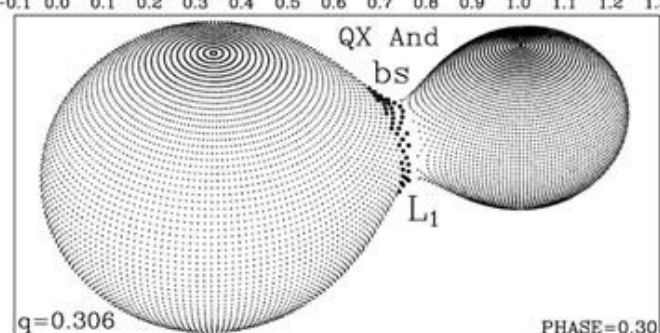
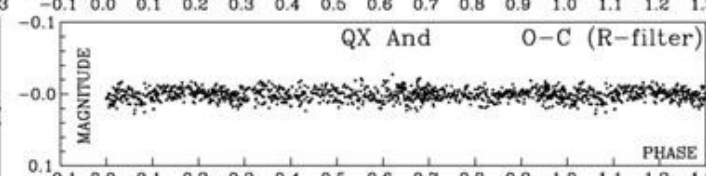
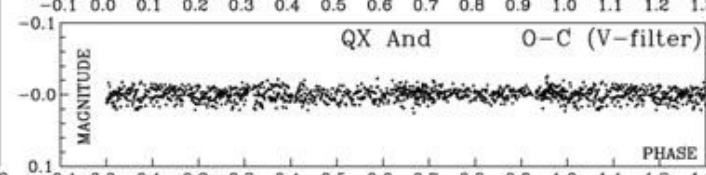
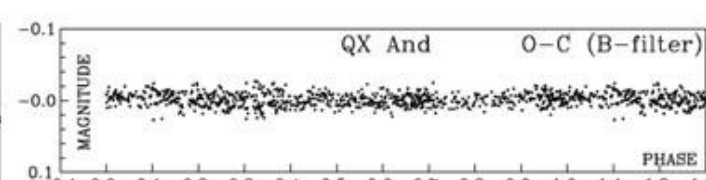
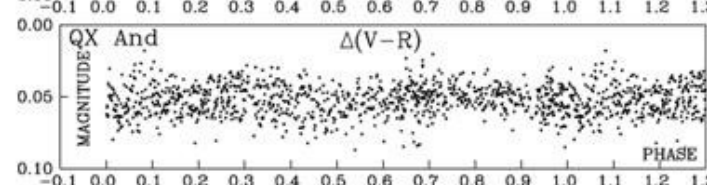
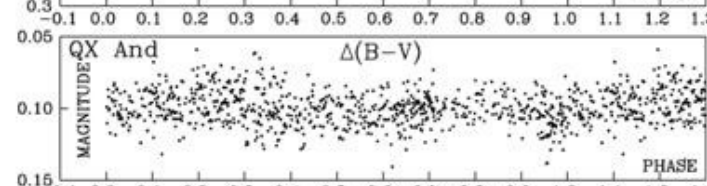
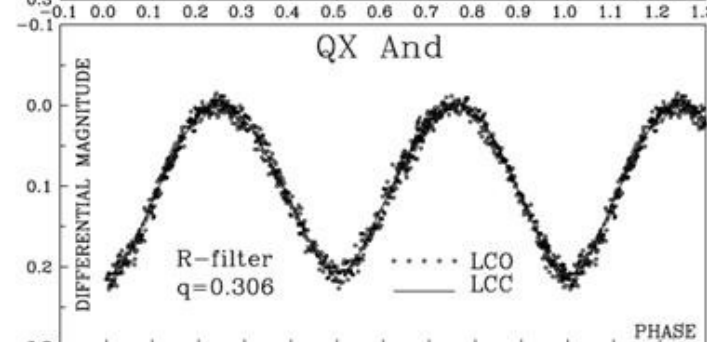
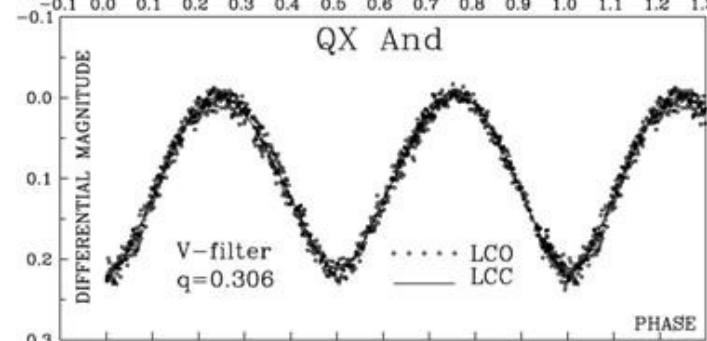
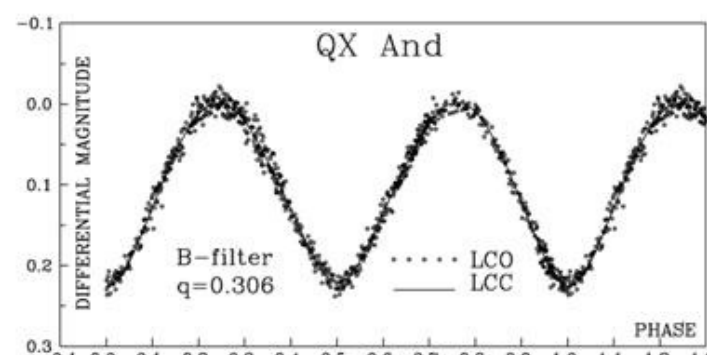


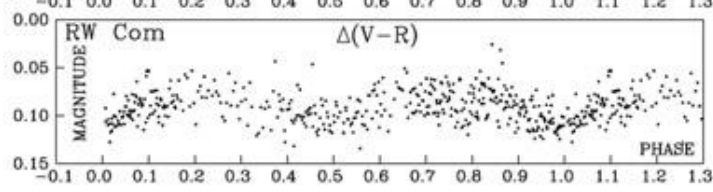
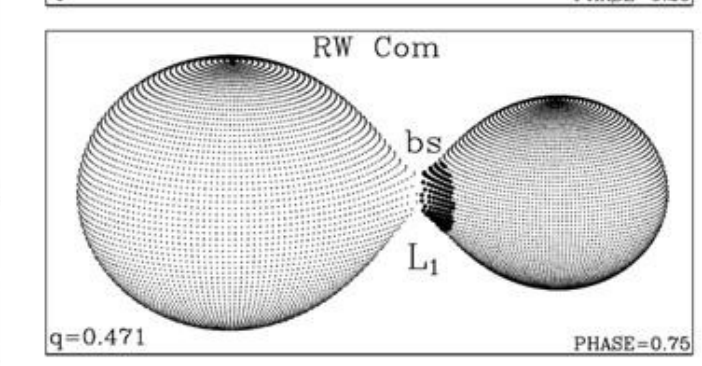
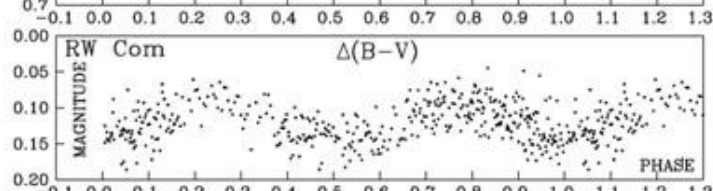
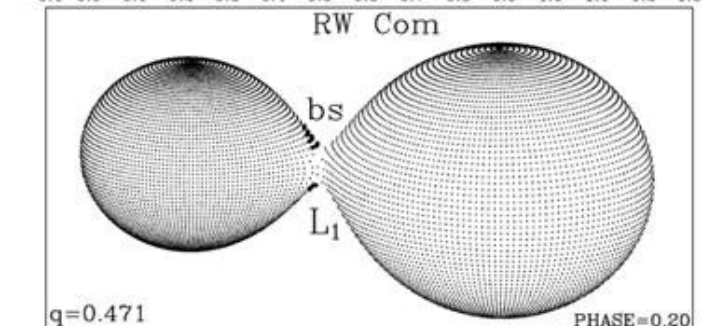
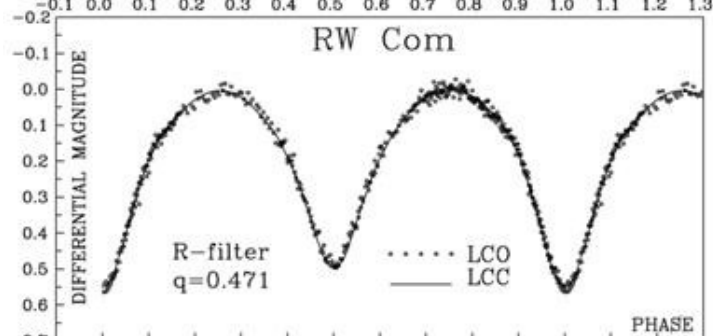
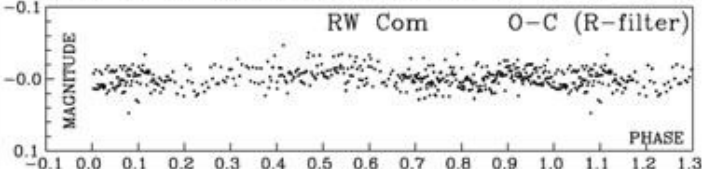
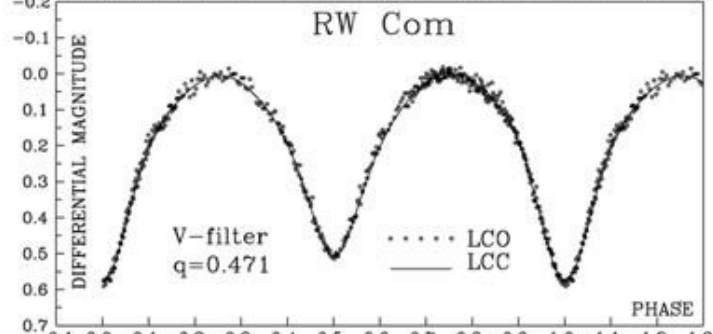
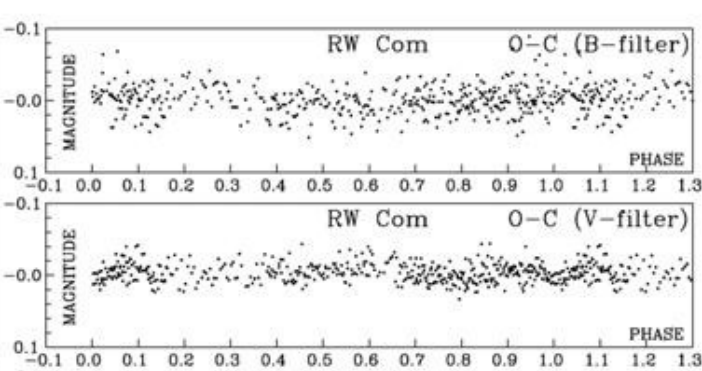
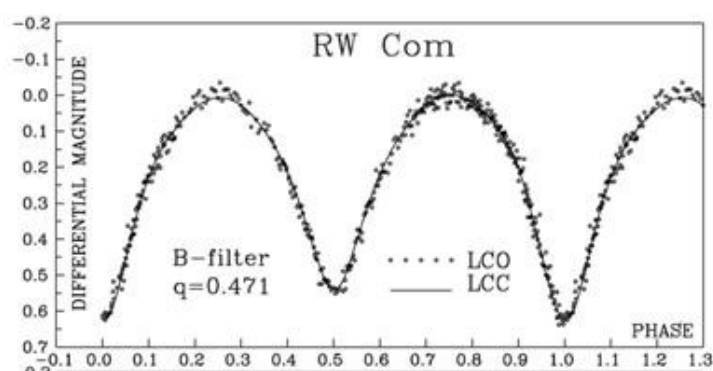
$F_1=1.09$



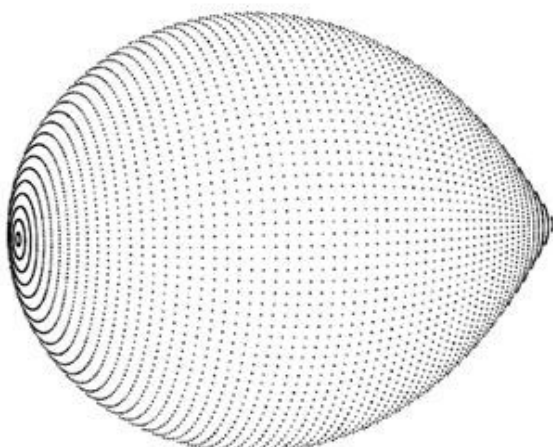




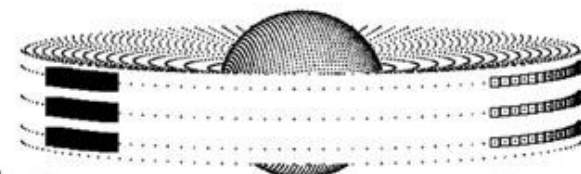




$q=0.6$  ;  $i=85^\circ$  ;  $f_h=1.0$  ;  $F_h=0.3$



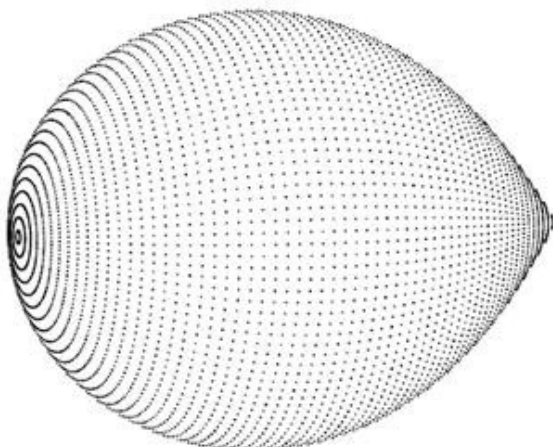
$L_1$  hs



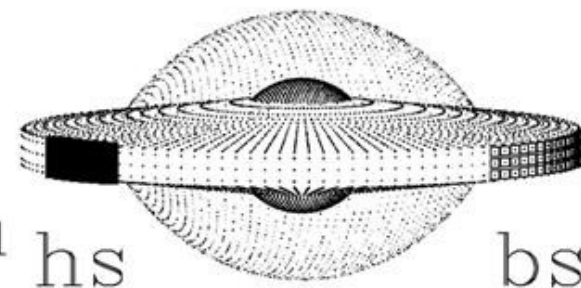
bs

PHASE=0.80

$q=0.6$  ;  $i=85^\circ$  ;  $f_h=5.0$  ;  $F_h=0.5$

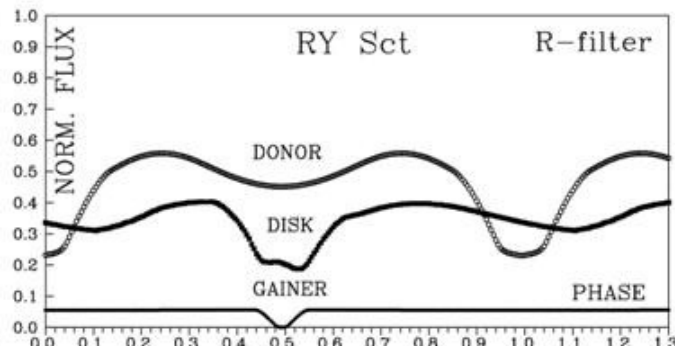
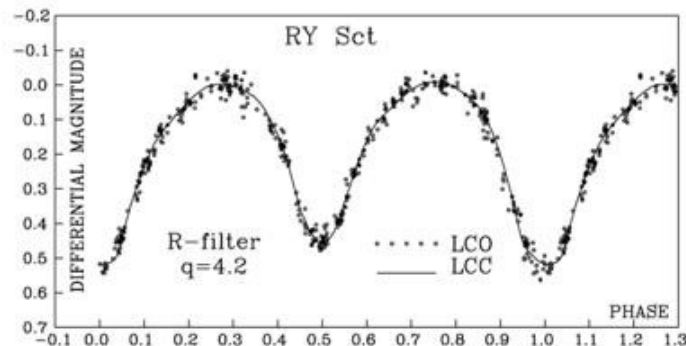
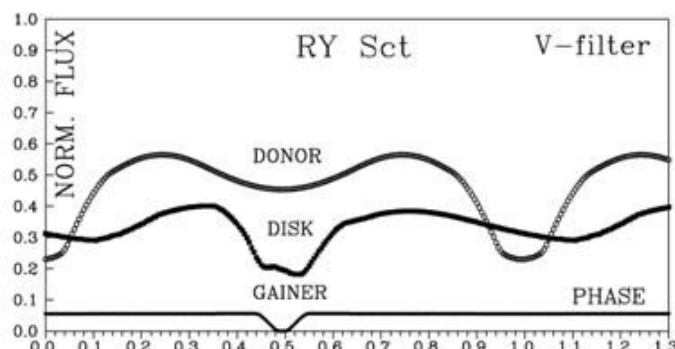
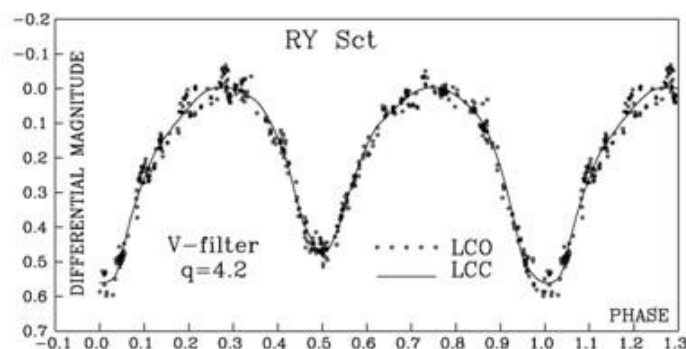
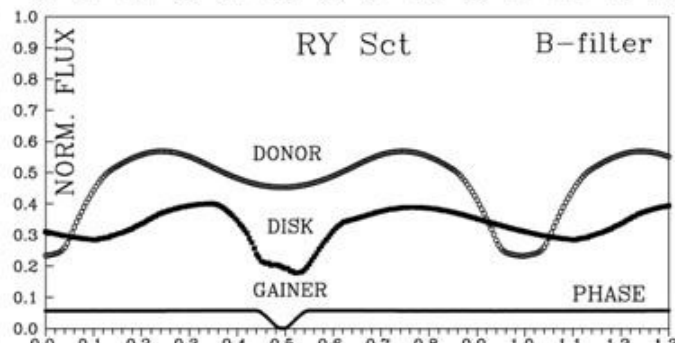
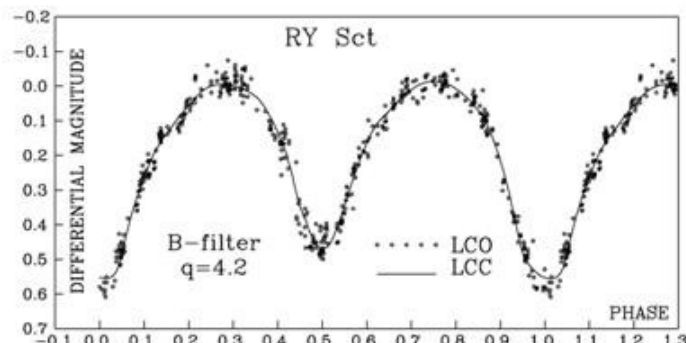
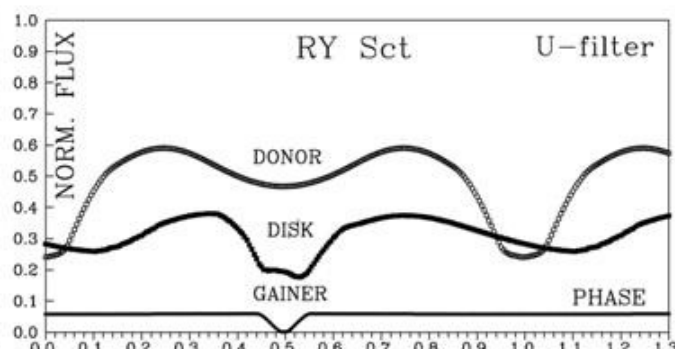
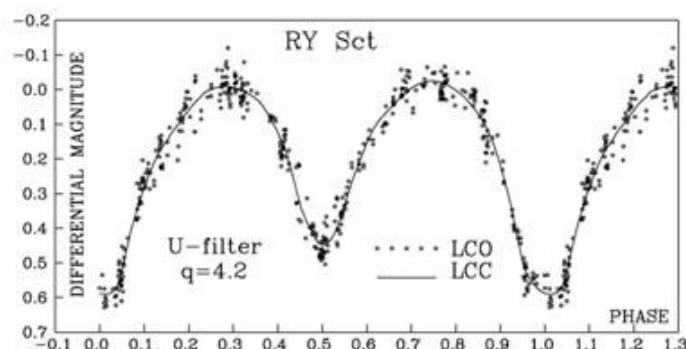


$L_1$  hs

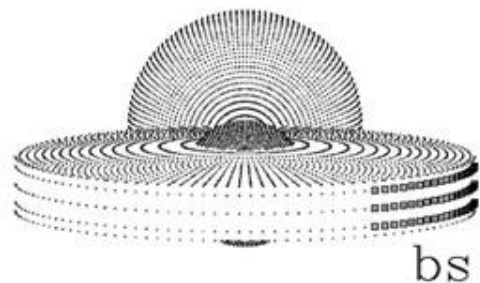


bs

PHASE=0.80

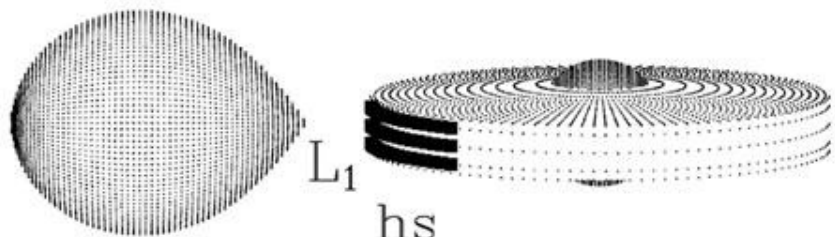


RY Sct



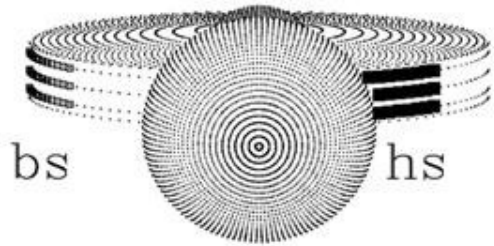
PHASE=0.00

RY Sct



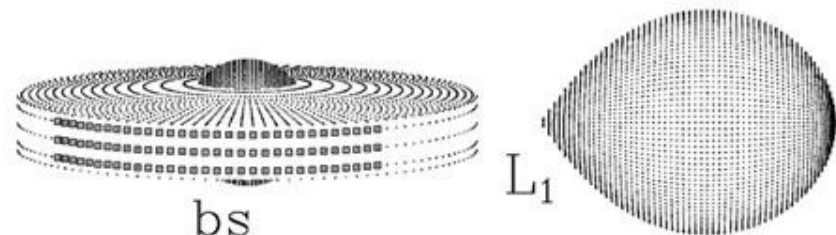
PHASE=0.25

RY Sct

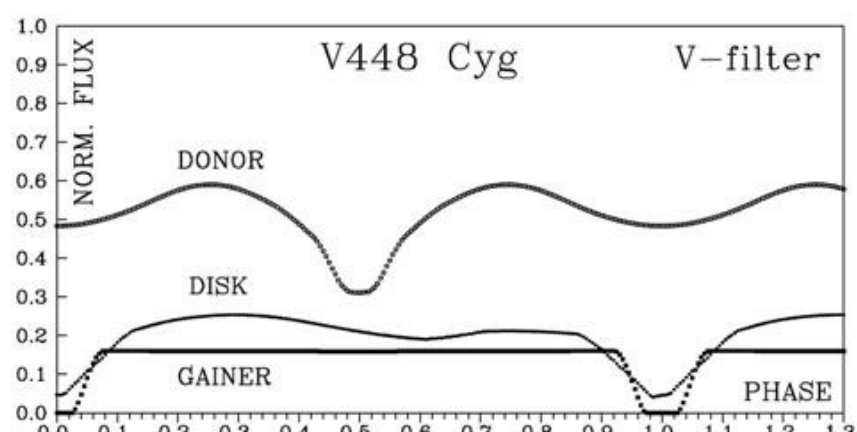
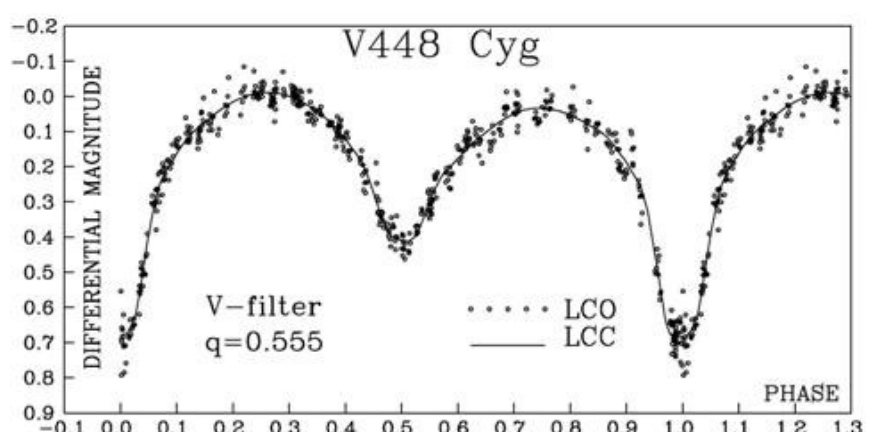
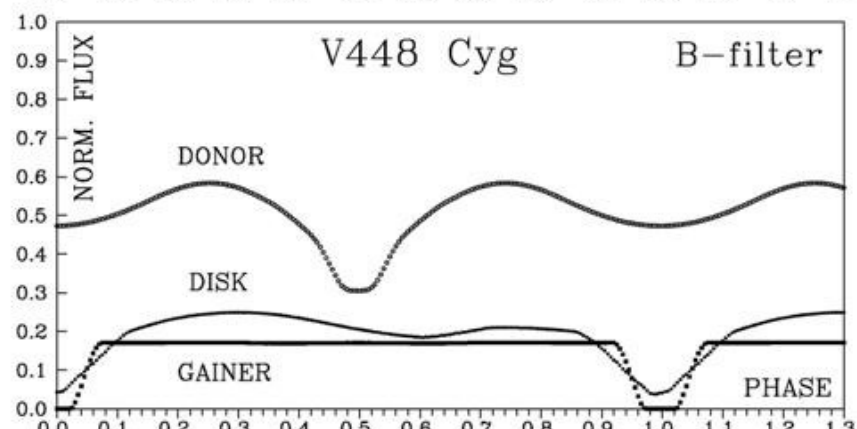
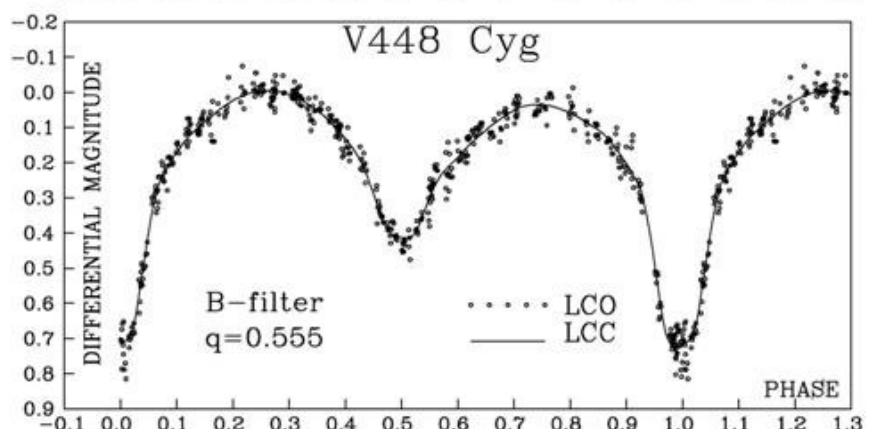
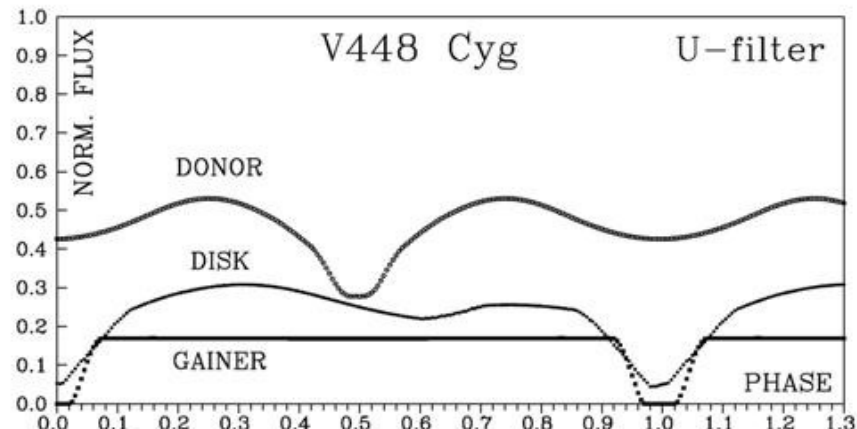
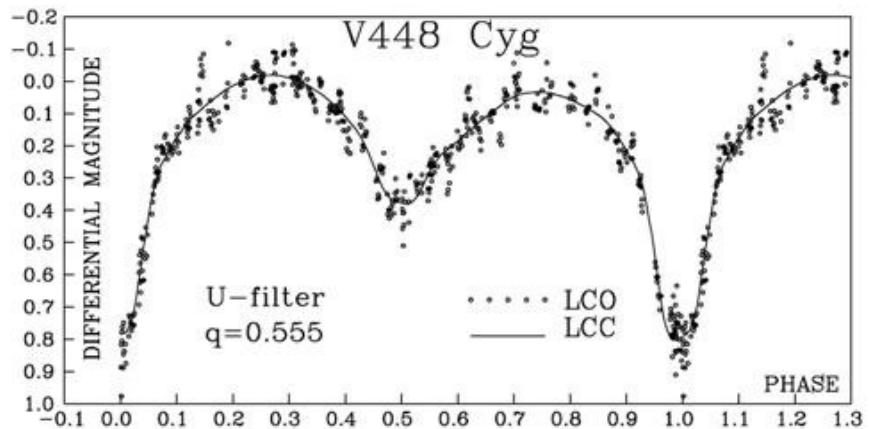


PHASE=0.50

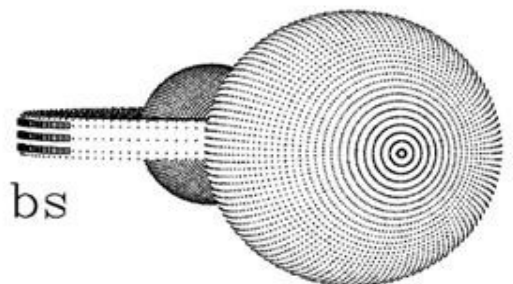
RY Sct



PHASE=0.75

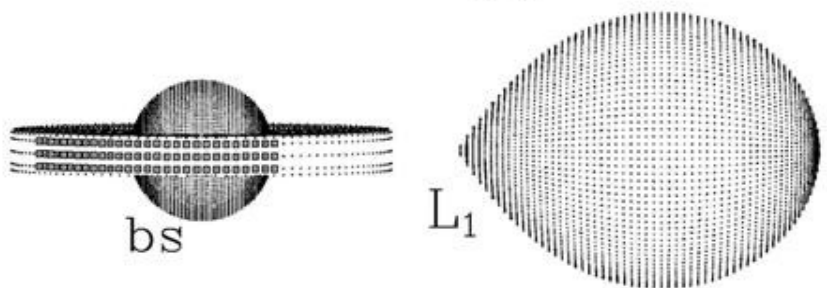


V448 Cyg



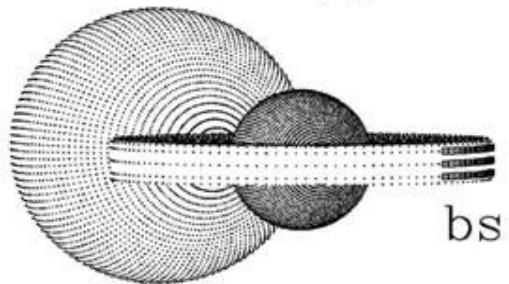
PHASE=0.05

V448 Cyg



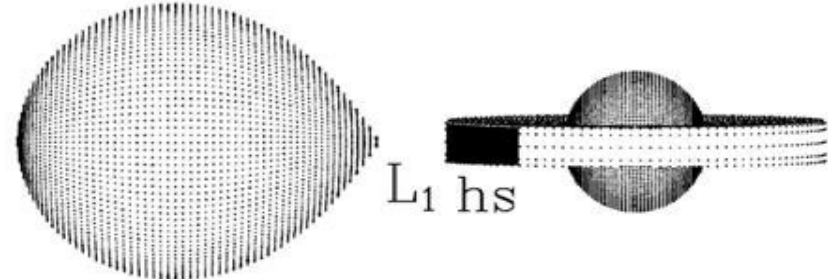
PHASE=0.25

V448 Cyg

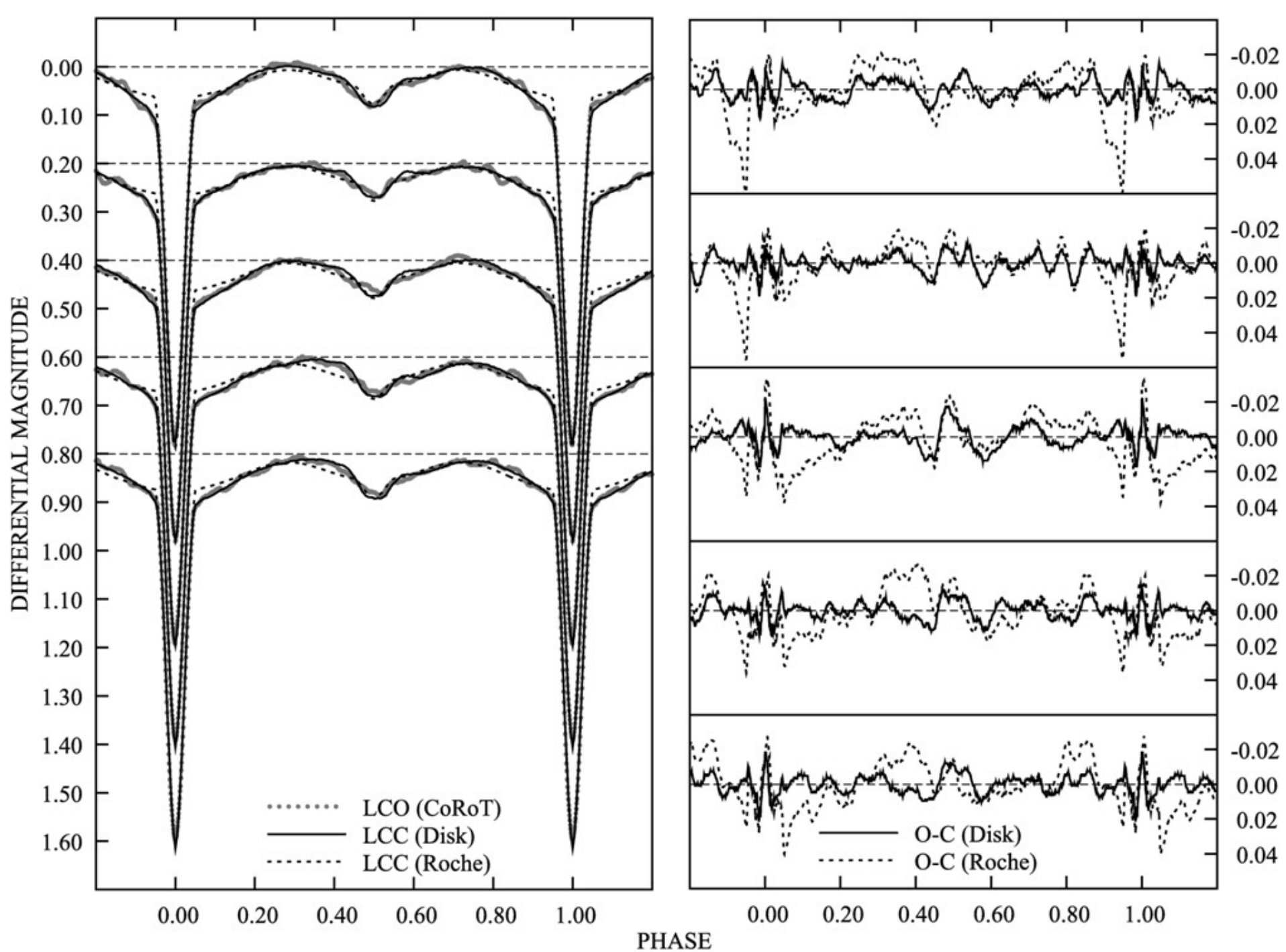


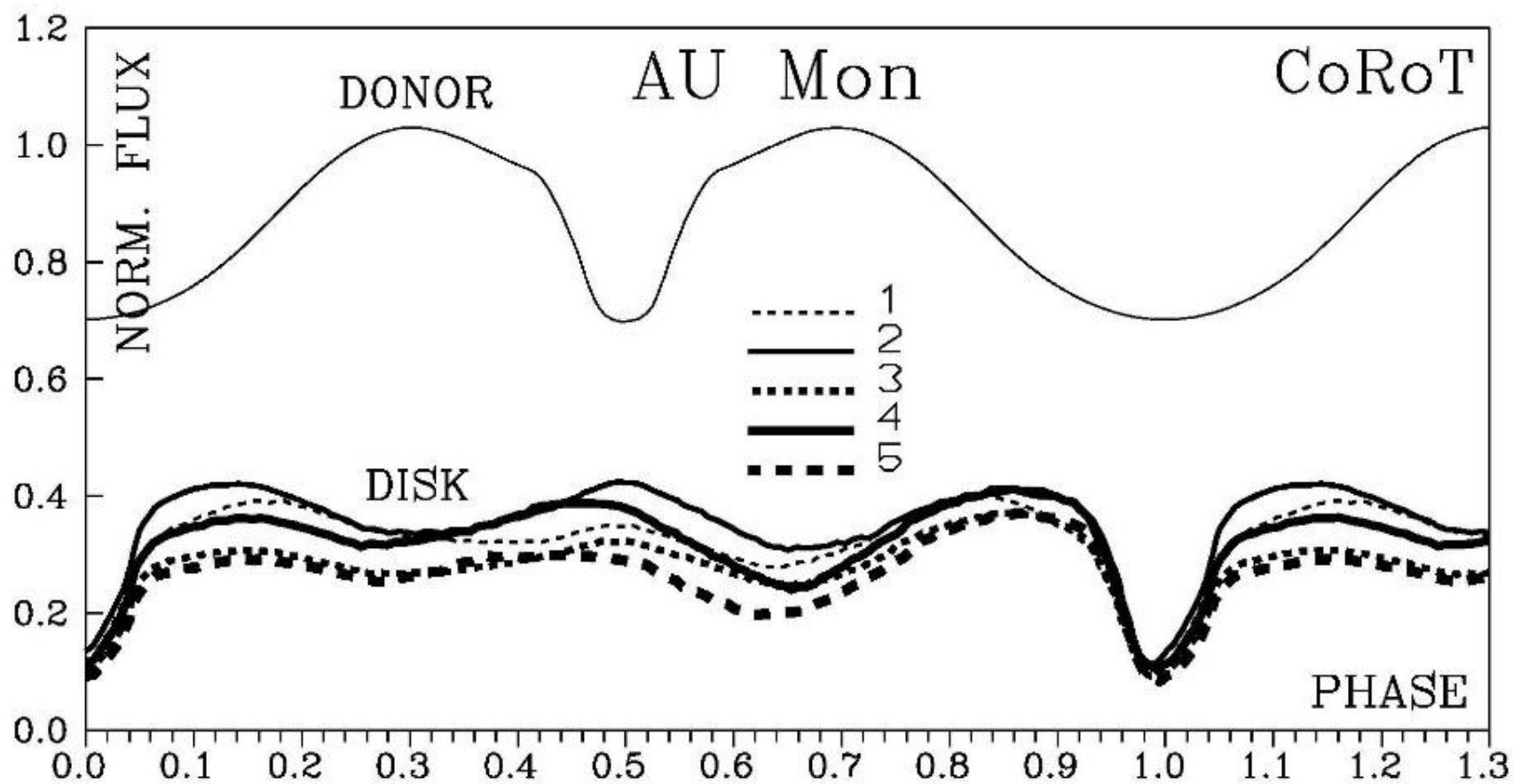
PHASE=0.55

V448 Cyg

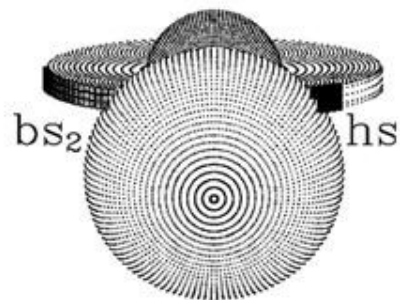


PHASE=0.75



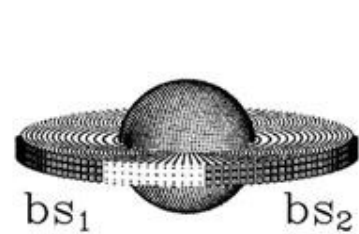


AU Mon



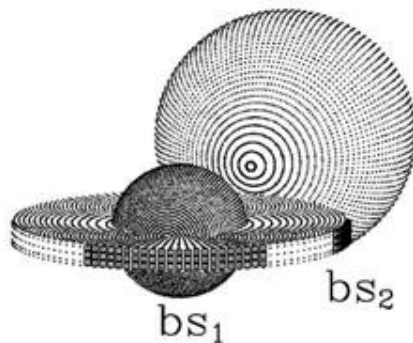
PHASE=0.00

AU Mon



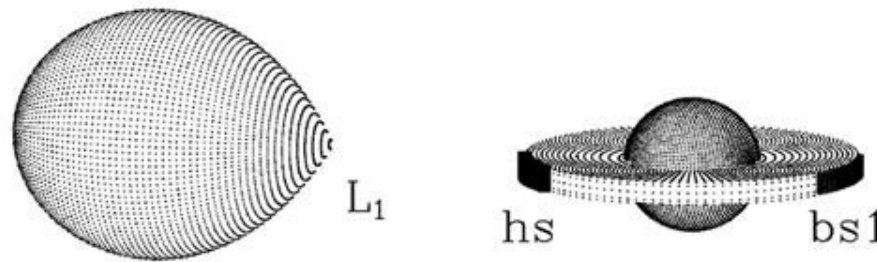
PHASE=0.30

AU Mon

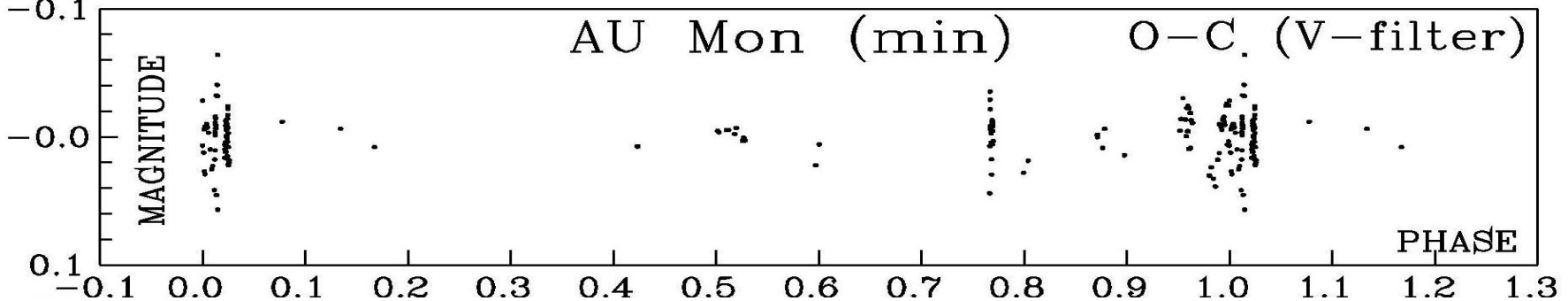
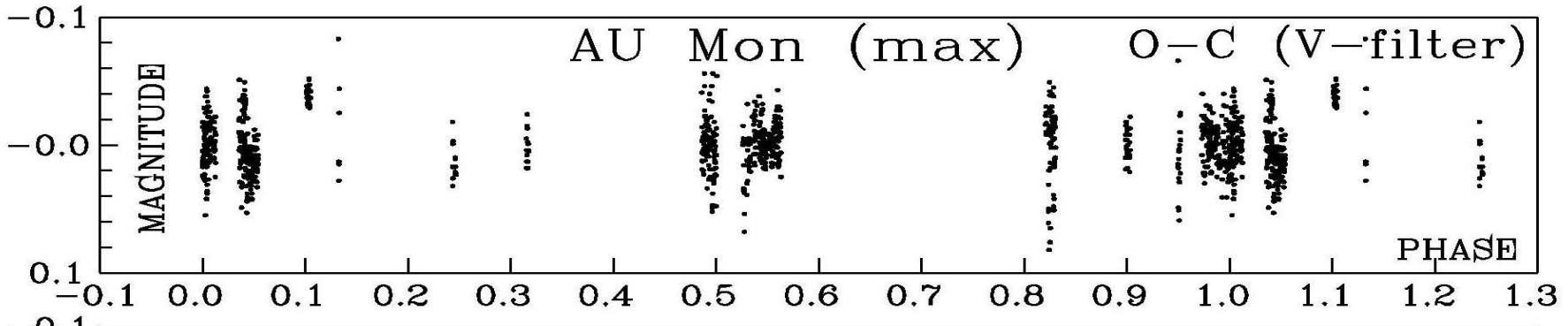
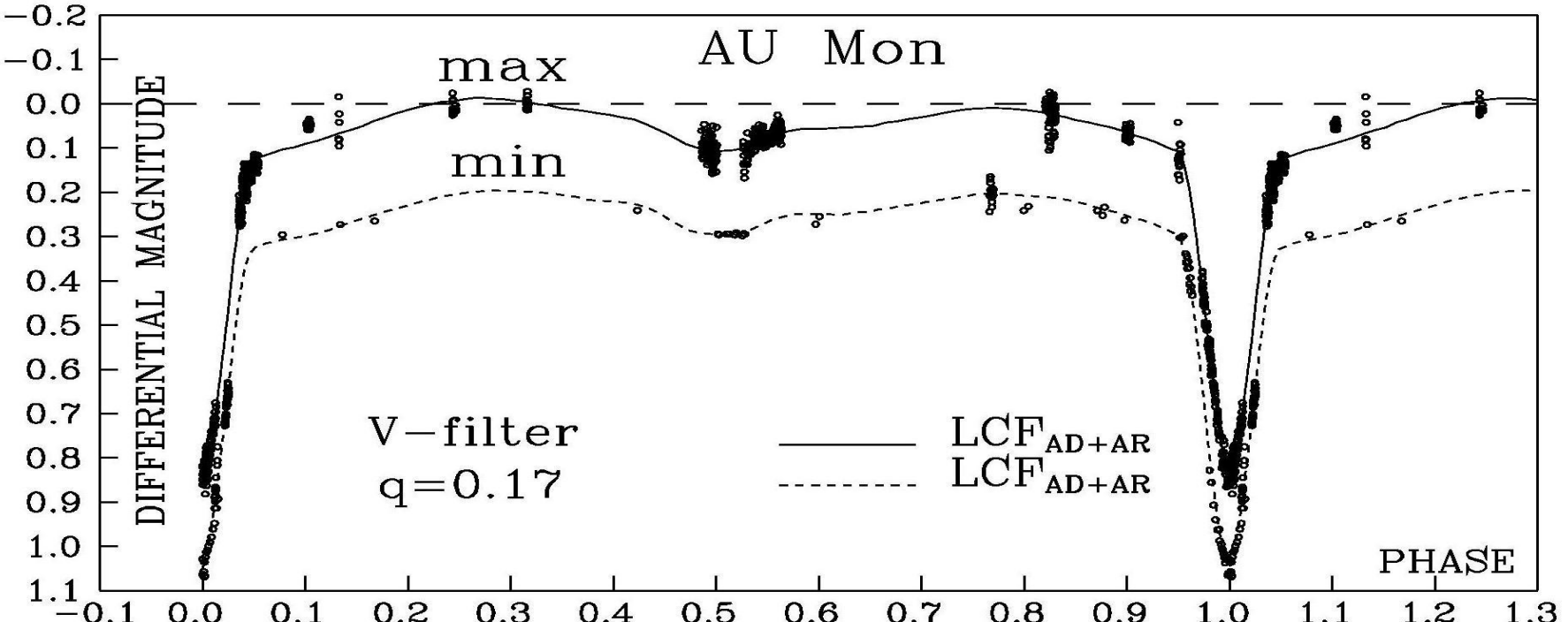


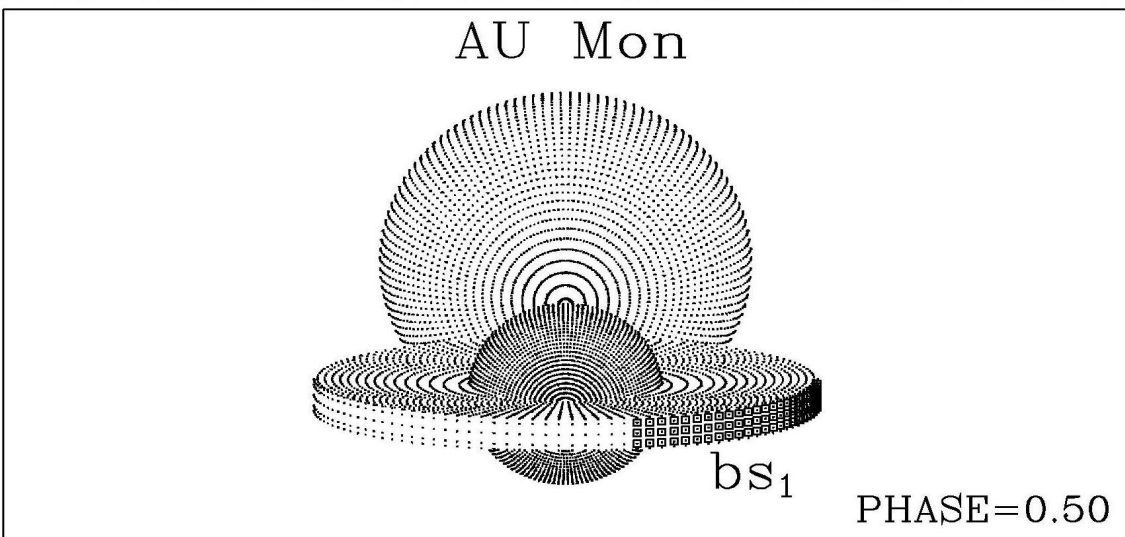
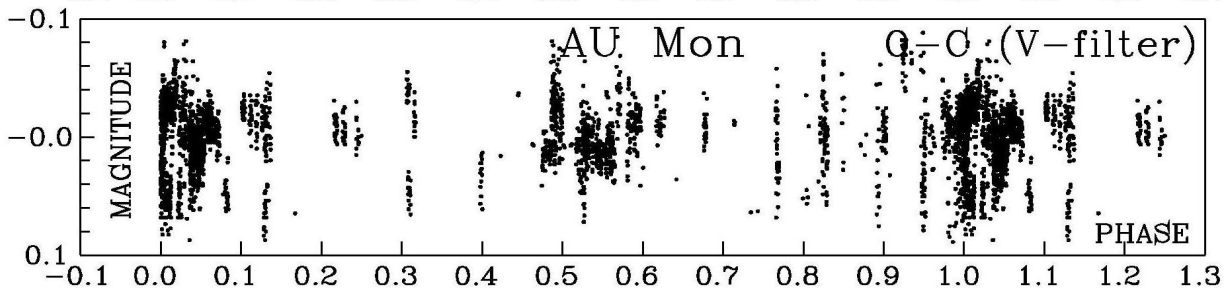
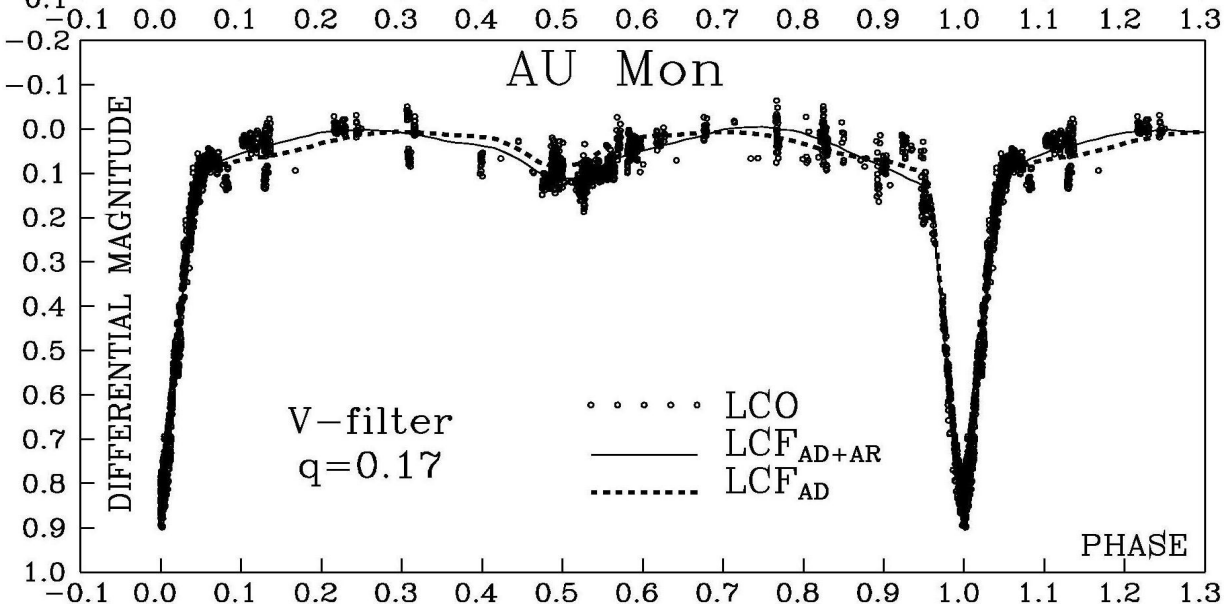
PHASE=0.47

AU Mon

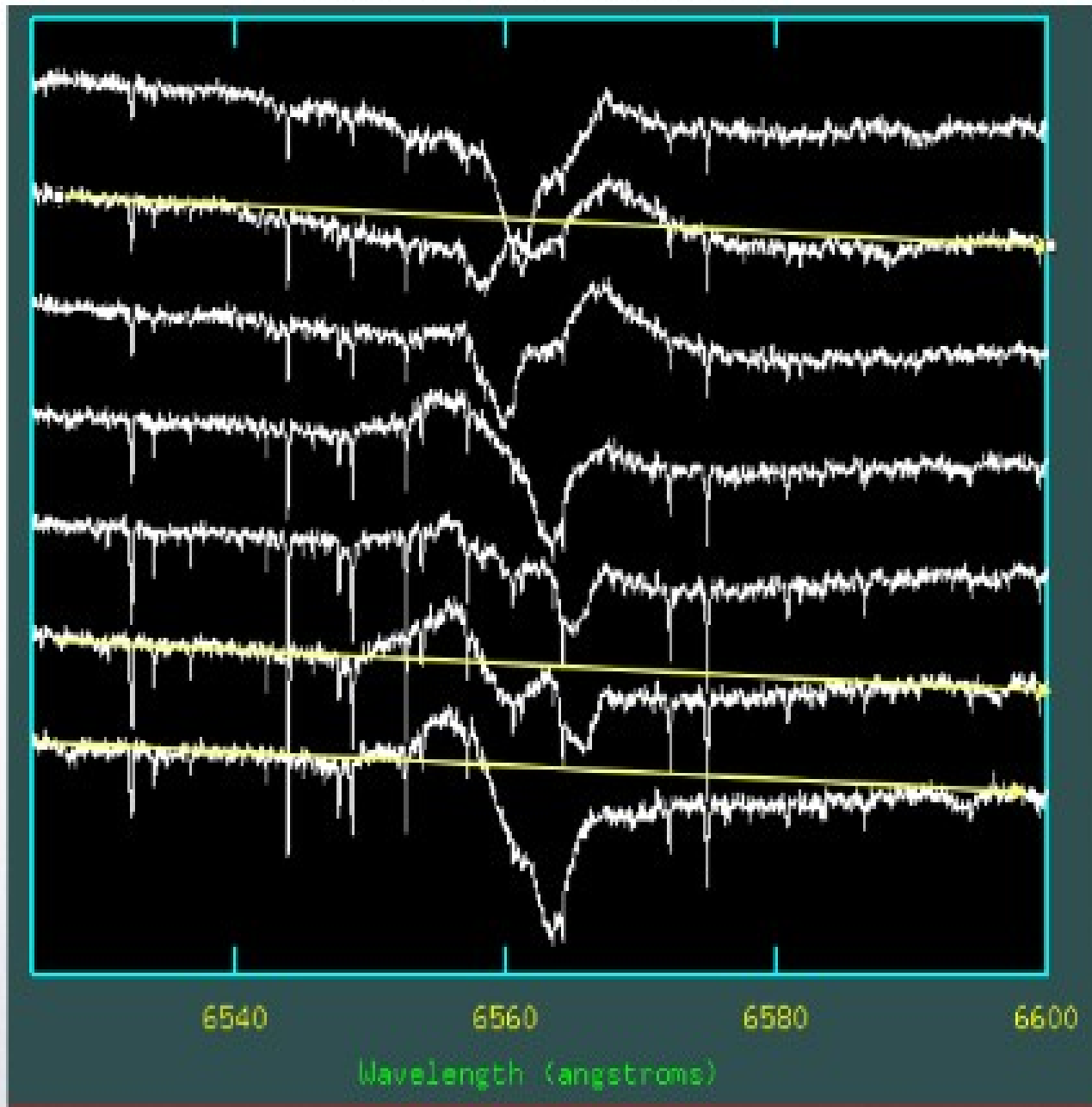


PHASE=0.70



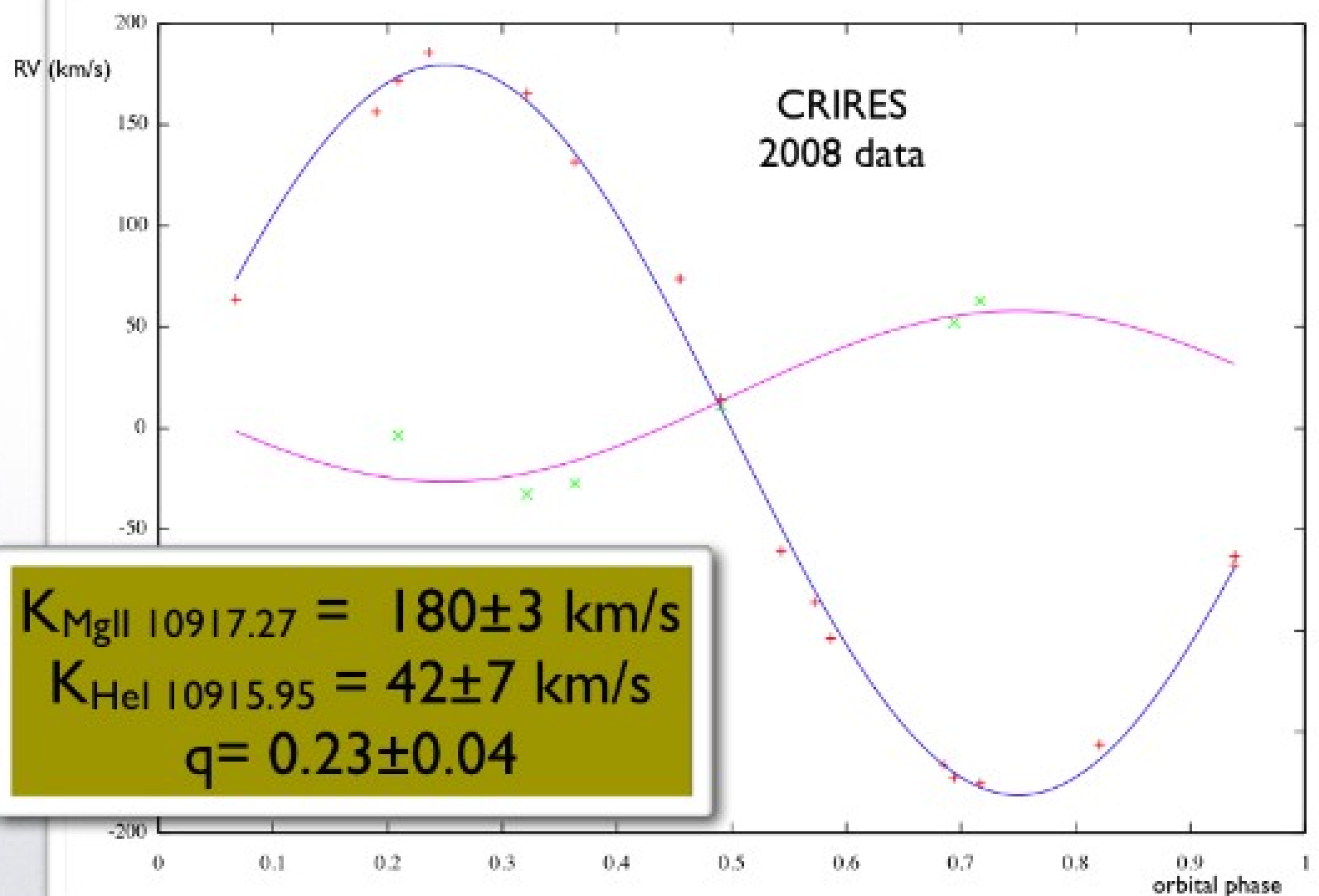


# V393 Sco april-2008 UVES data

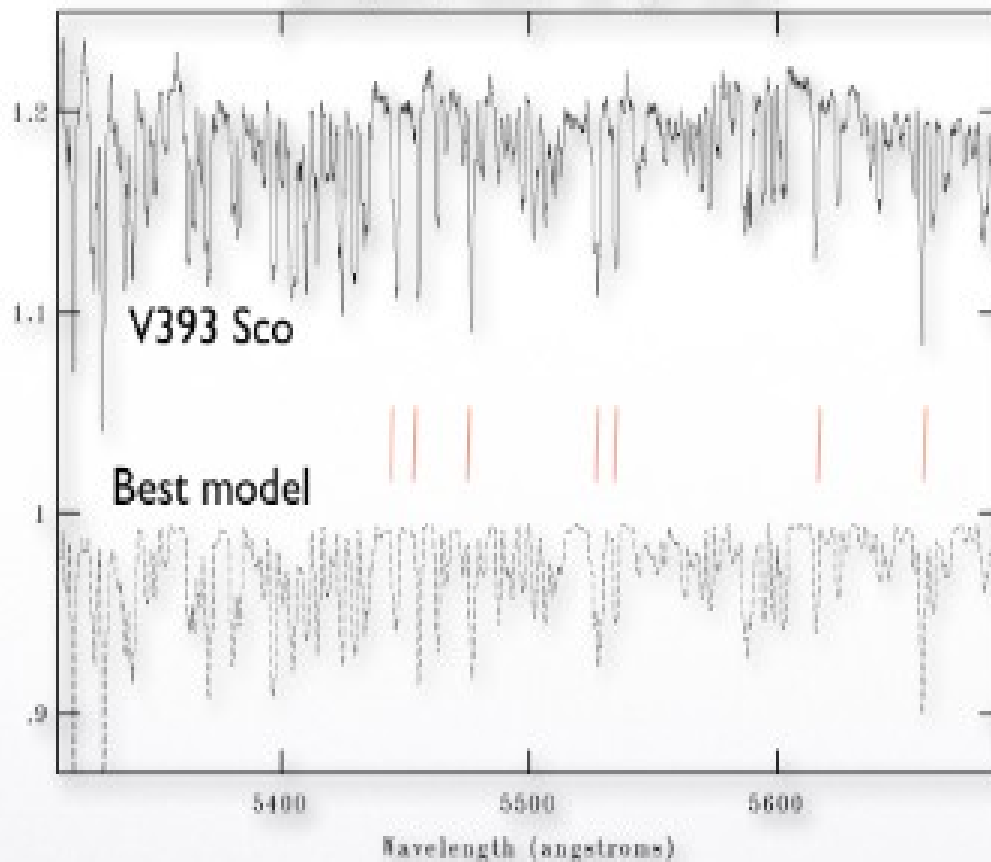


0.946  
0.718  
0.522  
0.386  
0.331  
0.199  
0.069

orbital phases

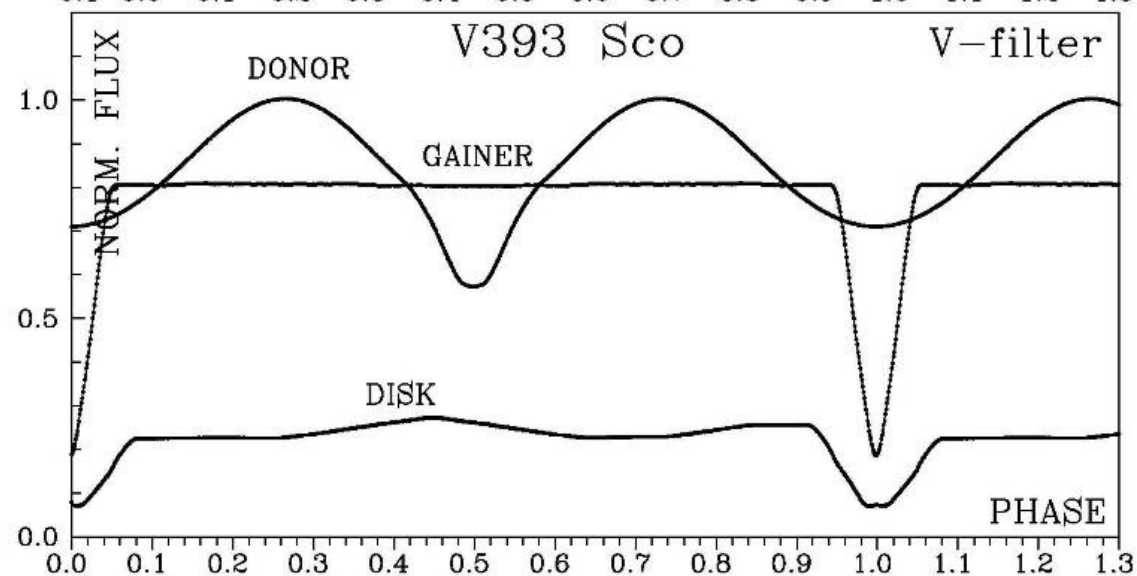
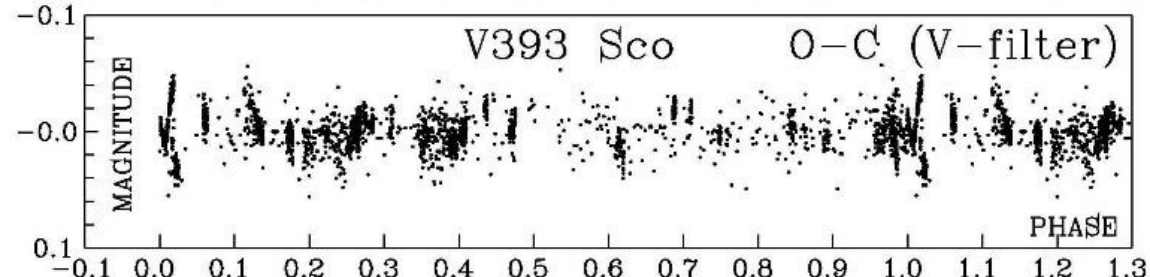
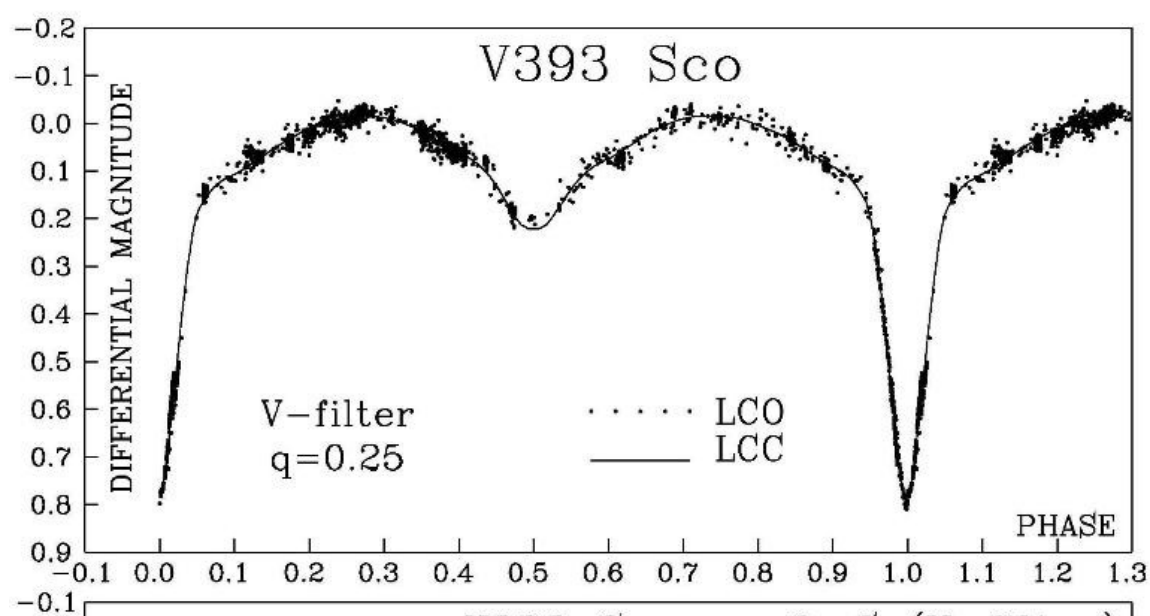


NOAO/IRAF V2.13-BETA Ronald@manzanita - ronald.cfm.udec.cl Wed 10:24:55 18-Jun  
[g3template]: V393Sco 400. ap:1 beam:1

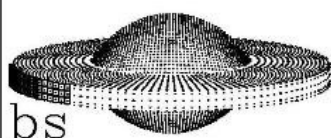


- $\log g = 3.0 \pm 0.1$
- $T_{\text{eff}} = 7900 \pm 100 \text{ K}$
- $Z \approx \text{solar}$
- $V_{\text{rot}} = 60 \pm 2 \text{ km/s}$

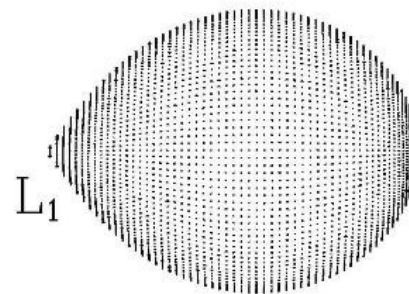
## Secondary star spectral modeling at phase 0.0



V393 Sco



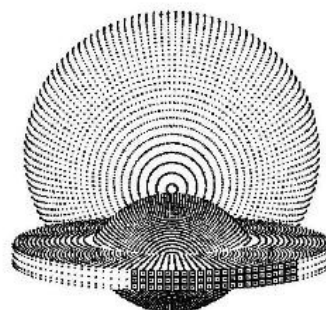
i=80°.0  
q=0.25



L<sub>1</sub>

PHASE=0.25

V393 Sco

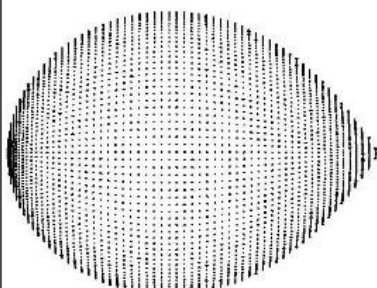


i=80°.0  
q=0.25

bs

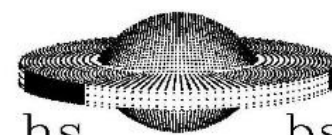
PHASE=0.50

V393 Sco



L<sub>1</sub>

i=80°.0  
q=0.25



hs

bs

PHASE=0.75